

УДК 530.145; 538.915; 538.958

В. В. КУДРЯШОВ, А. В. БАРАН

СПИН-ОРБИТАЛЬНЫЕ ВЗАИМОДЕЙСТВИЯ
В ПОЛУПРОВОДНИКОВЫХ КРУГОВЫХ КВАНТОВЫХ ТОЧКАХ

(Представлено членом-корреспондентом Л. М. Томильчиком)

Институт физики им. Б. И. Степанова НАН Беларуси, Минск

Поступило 29.10.2014

Известно [1; 2], что движение электрона во внутреннем слое полупроводниковой гетероструктуры можно рассматривать как двумерное в плоскости (x, y) благодаря наличию запирающей квантовой ямы по оси z , направленной перпендикулярно плоскости (x, y) . В связи с развитием нанотехнологий возрастающее значение приобретают исследования квантовых точек в гетероструктурах. Удерживающий потенциал обычно предполагается аксиально-симметричным $V_c(x, y) = V_c(\rho)$, где $\rho = \sqrt{x^2 + y^2}$. Существуют два типа удерживающих потенциалов, которые широко используются в этой области. Во-первых, это – прямоугольный потенциал с непроницаемыми стенками [3; 4], во-вторых – параболический потенциал [5; 6]. Однако эти модели нефизичны, так как они в принципе не допускают наличия несвязанных состояний. В [7; 8] предложен простой, но достаточно адекватный моделируемой системе потенциал конечной глубины V для двумерных круговых квантовых точек. Этот потенциал имеет вид

$$V_c(\rho) = \begin{cases} 0, & 0 < \rho < \rho_0, \\ V, & \rho_0 < \rho < \infty. \end{cases} \quad (1)$$

Здесь ρ_0 – радиус квантовой точки.

Исследования влияния спин-орбитальных взаимодействий Рашбы [9] и Дрессельхауса [10] на состояния электрона в плоских гетероструктурах в последние годы получили широкое распространение. Операторы взаимодействия Рашбы V_R и Дрессельхауса V_D задаются формулами

$$V_R = \alpha_R (\sigma_x p_y - \sigma_y p_x) / \hbar, \quad V_D = \alpha_D (\sigma_x p_x - \sigma_y p_y) / \hbar,$$

где σ_x и σ_y – стандартные матрицы Паули. Интенсивности этих взаимодействий зависят от используемых материалов. Вклад каждого из взаимодействий может быть измерен с применением различных экспериментальных методов [2; 11].

Полный гамильтониан рассматриваемой задачи можно записать следующим образом:

$$H = \frac{p_x^2 + p_y^2}{2M_{\text{eff}}} + V_c(\rho) + V_R + V_D, \quad (2)$$

где M_{eff} – эффективная масса электрона и $V_c(\rho)$ – потенциал вида (1). В общем случае произвольных значений интенсивностей α_R и α_D , точные решения уравнения Шредингера с гамильтонианом (2) неизвестны. В частном случае взаимодействия Рашбы ($\alpha_D = 0$) точные решения были получены в [7; 8]. Отметим также, что легко найти подобные точные решения в альтернативном частном случае ($\alpha_R = 0$).

В то же время значительное внимание уделяется и тому частному случаю [2; 12; 13], когда спин-орбитальные взаимодействия Рашбы и Дрессельхауса имеют равную интенсивность $\alpha_R = \alpha_D$. Это может быть экспериментально достигнуто благодаря тому, что интенсивностью взаимодействия Рашбы можно управлять внешним электрическим полем, а интенсивность вза-

имодействия Дрессельхауса можно менять, варьируя ширину квантовой ямы по оси z [1; 2]. В данном частном случае точные решения были найдены в [14]. В настоящей работе рассмотрен случай, когда разность интенсивностей $\alpha_R - \alpha_D$ мала по сравнению с их суммой $\alpha_R + \alpha_D$. Приближенное решение уравнения Шредингера ищется с помощью теории возмущений, когда возмущение пропорционально малому параметру

$$\gamma = \frac{\alpha_R - \alpha_D}{\alpha_R + \alpha_D}.$$

В рассматриваемом случае гамильтониан можно представить в виде суммы

$$H = H_0 + H'$$

невозмущенного гамильтониана

$$H_0 = \frac{p_x^2 + p_y^2}{2M_{\text{eff}}} + \left(\frac{\alpha_R + \alpha_D}{2\hbar} \right) (\sigma_x - \sigma_y)(p_x + p_y) + V_c(\rho) \quad (3)$$

и возмущения вида

$$H' = \left(\frac{\alpha_R - \alpha_D}{2\hbar} \right) (\sigma_x + \sigma_y)(p_y - p_x) = \gamma \left(\frac{\alpha_R + \alpha_D}{2\hbar} \right) (\sigma_x + \sigma_y)(p_y - p_x).$$

Будем решать полное уравнение Шредингера $H\Psi = E\Psi$ в два этапа. Сначала получим точное решение невозмущенного уравнения Шредингера

$$H_0\Psi_0 = E_0\Psi_0, \quad (4)$$

а потом учтем влияние добавки H' в рамках теории возмущений.

Легко убедиться в том, что в случае невозмущенного уравнения (4) с гамильтонианом (3), наряду с очевидным интегралом движения

$$\sigma = (\sigma_x - \sigma_y) / \sqrt{2}$$

имеется и нетривиальный интеграл движения

$$L = L_z + \frac{(\alpha_R + \alpha_D)M_{\text{eff}}}{2\hbar} (x - y)(\sigma_x - \sigma_y),$$

где L_z – оператор углового момента. Будем искать такие решения уравнения (4), которые являются собственными функциями операторов σ и L . Тогда искомые решения допускают факторизацию вида

$$\Psi_0^\pm(x, y) = \mathbf{n}^\pm \exp \left[\mp i \frac{(\alpha_R + \alpha_D)M_{\text{eff}}}{\sqrt{2}\hbar^2} (x + y) \right] e^{im\phi} u(\rho), \quad m = 0, \pm 1, \pm 2, \dots, \quad (5)$$

где m – квантовое число углового момента; \mathbf{n}^\pm – ортонормированные собственные векторы оператора σ :

$$\sigma \mathbf{n}^\pm = \pm \mathbf{n}^\pm, \quad \mathbf{n}^\pm = \frac{1}{\sqrt{2}} \begin{pmatrix} 1 \\ \pm e^{-i\pi/4} \end{pmatrix}.$$

Здесь использованы полярные координаты ρ, ϕ ($x = \rho \cos \phi$, $y = \rho \sin \phi$). Полученные волновые функции удовлетворяют следующим соотношениям:

$$\sigma \Psi_0^\pm(x, y) = \pm \Psi_0^\pm(x, y), \quad L \Psi_0^\pm(x, y) = m\hbar \Psi_0^\pm(x, y).$$

Перейдя к безразмерным величинам

$$r = \frac{\rho}{\rho_0}, \quad e_0 = \frac{2M_{\text{eff}}\rho_0^2}{\hbar^2} E_0, \quad v = \frac{2M_{\text{eff}}\rho_0^2}{\hbar^2} V, \quad a_R = \frac{2M_{\text{eff}}\rho_0}{\hbar^2} \alpha_R, \quad a_D = \frac{2M_{\text{eff}}\rho_0}{\hbar^2} \alpha_D,$$

запишем радиальное уравнение

$$\frac{d^2 u}{dr^2} + \frac{1}{r} \frac{du}{dr} + \left(e_0 + a^2 - v_c(r) - \frac{m^2}{r^2} \right) u = 0, \quad (6)$$

где

$$a = (a_R + a_D) / 2, \\ v_c(r) = \begin{cases} 0, & 0 < r < 1, \\ v, & 1 < r < \infty. \end{cases}$$

Уравнение (6) является уравнением Бесселя. Частные решения выбираются таким образом, чтобы радиальная волновая функция $u(r)$ была регулярной в начале координат $r \rightarrow 0$ и стремилась к нулю на бесконечности $r \rightarrow \infty$.

Потребуем выполнения условия непрерывности для радиальной волновой функции $u(r)$ и ее первой производной в граничной точке $r = 1$. В результате получаем явную формулу

$$u(r) = c \begin{cases} K_m(\sqrt{v - e_0 - a^2}) J_m(\sqrt{e_0 + a^2} r), & 0 < r < 1, \\ J_m(\sqrt{e_0 + a^2}) K_m(\sqrt{v - e_0 - a^2} r), & 1 < r < \infty, \end{cases}$$

где $J_m(z)$ – функция Бесселя и $K_m(z)$ – модифицированная функция Бесселя [15]. Точное уравнение для определения невозмущенной энергии $e_0(m, v, a)$ имеет вид

$$K_m(\sqrt{v - e_0 - a^2}) J'_m(\sqrt{e_0 + a^2}) = J_m(\sqrt{e_0 + a^2}) K'_m(\sqrt{v - e_0 - a^2}).$$

Здесь введены обозначения

$$J'_m(\sqrt{e_0 + a^2}) = \left. \frac{dJ_m(\sqrt{e_0 + a^2} r)}{dr} \right|_{r=1}, \quad K'_m(\sqrt{v - e_0 - a^2}) = \left. \frac{dK_m(\sqrt{v - e_0 - a^2} r)}{dr} \right|_{r=1}.$$

Значение c находится из условия нормировки $\langle \Psi_0^\pm | \Psi_0^\pm \rangle = 1$. Отметим, что функции $\Psi_0^\pm(x, y)$ ортогональны ($\langle \Psi_0^\pm | \Psi_0^\mp \rangle = 0$).

Наряду с безразмерными величинами e_0 и v рассмотрим возмущение в безразмерной форме

$$h' = \frac{2M_{\text{eff}} \rho_0^2}{\hbar^2} H'. \quad (7)$$

Так как каждый уровень энергии невозмущенной системы является двукратно вырожденным с двумя собственными функциями (5), будем учитывать вклад возмущения (7) по теории возмущений при наличии вырождения. Вследствие того, что $(\sigma_x + \sigma_y) \mathbf{n}^\pm = \mp i\sqrt{2} \mathbf{n}^\mp$, имеем следующие равенства:

$$\langle \Psi_0^\pm | h' | \Psi_0^\pm \rangle = 0$$

для диагональных матричных элементов в базисе собственных векторов $|\Psi_0^+\rangle$ и $|\Psi_0^-\rangle$. Недиagonальные матричные элементы имеют вид

$$\langle \Psi_0^+ | h' | \Psi_0^- \rangle = \langle \Psi_0^- | h' | \Psi_0^+ \rangle = -\gamma \delta(m, v, a),$$

где

$$\delta(m, v, a) = 2ma \frac{\int_0^\infty J_1(2ar) u^2(r) dr}{\int_0^\infty u^2(r) r dr}.$$

Тогда для расщепления невозмущенных уровней энергии получаем

$$e^\pm(m, v, a, \gamma) = e_0(m, v, a) \mp \gamma \delta(m, v, a).$$

Нормированные собственные функции нулевого приближения, которые принадлежат собственным значениям e^\pm , описываются формулами

$$\Psi^\pm = \frac{1}{\sqrt{2}}(\Psi_0^+ \pm \Psi_0^-).$$

В дополнение к аналитическим результатам представим некоторые графические иллюстрации. Выбираем эффективную массу электрона $M_{\text{eff}} = 0,067M_e$, характеризующую движение в арсениде галлия GaAs, где M_e – масса электрона в вакууме [4]. При выборе $\rho_o = 30$ нм имеют место следующие соответствия между безразмерными и размерными величинами: $a = 1 \rightarrow 18,9579$ мЭВ нм, $e = 1 \rightarrow E = 0,631933$ мЭВ.

На рис. 1–4 в безразмерном виде представлена зависимость невозмущенной энергии e_0 и относительной поправки δ/e_0 от суммарной интенсивности спин-орбитальных взаимодействий a при двух значениях глубины потенциальной ямы $v = 50, 400$. Сплошные линии соответствуют первым уровням энергии, а штриховые – вторым уровням для трех значений углового момента ($m = 0, 1, 2$).

Очевидно, что полная поправка $\gamma\delta$ действительно мала по сравнению с невозмущенной энергией e_0 , когда параметр γ достаточно мал. Отличительной особенностью использованного приближения является равенство нулю поправки при $m = 0$.

Таким образом, в рамках теории возмущений дано описание электронных состояний в полупроводниковых круговых квантовых точках в присутствии спин-орбитальных взаимодействий Рашбы и Дрессельхауза с реалистичным аксиально-симметричным удерживающим прямоугольным потенциалом конечной глубины.

Работа выполнена при поддержке Белорусского республиканского фонда фундаментальных исследований (грант № Ф13К-079).

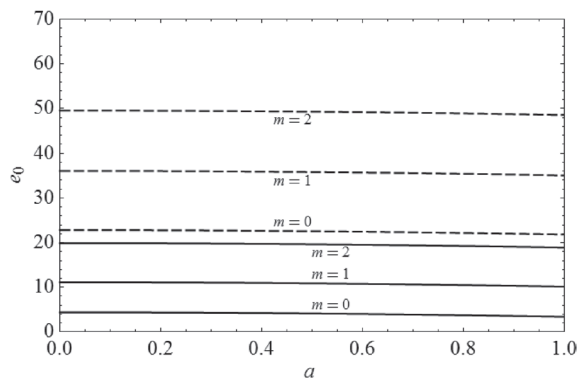


Рис. 1. Зависимость e_0 от a при $v = 50$

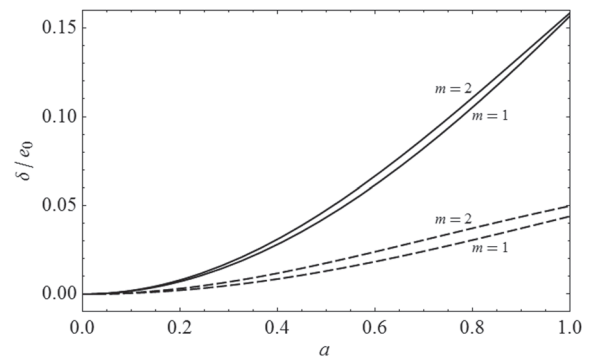


Рис. 2. Зависимость δ/e_0 от a при $v = 50$

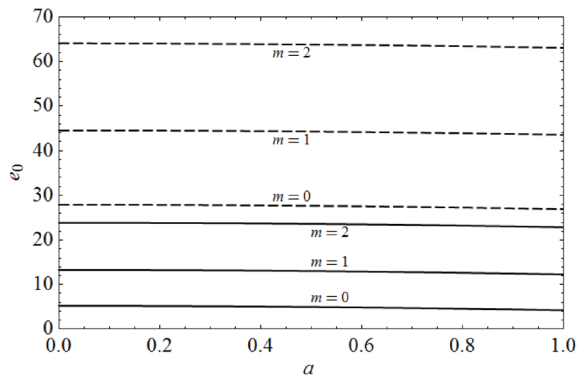


Рис. 3. Зависимость e_0 от a при $v = 400$

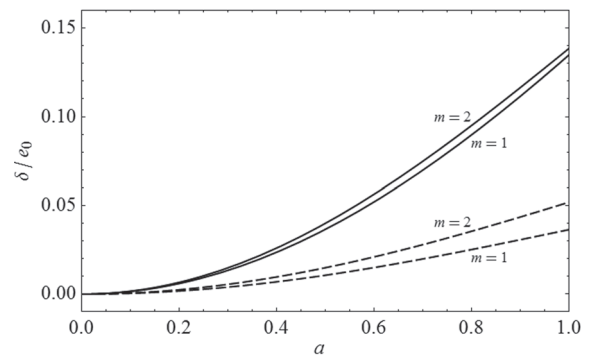


Рис. 4. Зависимость δ/e_0 от a при $v = 400$

Литература

1. *Valín-Rodríguez M., Puente A., Serra L.* // Eur. Phys. J. B. 2004. Vol. 39. P. 87–92.
2. *Li J., Chang K.* // Phys. Rev. B. 2010. Vol. 82. 033304.
3. *Bulgakov E. N., Sadreev A. F.* // Письма в ЖЭТФ. 2001. Т. 73. С. 573–577.
4. *Tsitsishvili E., Lozano G. S., Gogolin A. O.* // Phys. Rev. B. 2004. Vol. 70. 115316.
5. *de Sousa R., Das Sarma S.* // Phys. Rev. B. 2003. Vol. 68. 153330.
6. *Kuan W. H., Tang S. C., Xu W.* // J. Appl. Phys. 2004. Vol. 95. P. 6368–6373.
7. *Kudryashov V. V.* // Foundations and Advances in Nonlinear Science. Proceedings of the 13th International Conference and School. Minsk, 2006. P. 125–130; Nonlinear Phenomena in Complex Systems. 2009. Vol. 12. P. 199–203.
8. *Chaplik A. V., Magarill L. I.* // Phys. Rev. Lett. 2006. Vol. 96. 126402.
9. *Рауба Э. И.* // ФТТ. 1960. Т. 2. С. 1224–1238.
10. *Dresselhaus G.* // Phys. Rev. 1955. Vol. 100. P. 580–586.
11. *Meier L. et al.* // Nature Physics. 2007. Vol. 3. P. 650–654.
12. *Schliemann J., Egues J. C., Loss D.* // Phys. Rev. Lett. 2003. Vol. 90. 146801.
13. *Bernevig B. A., Orenstein J., Zhang S. C.* // Phys. Rev. Lett. 2006. Vol. 97. 236601.
14. *Кудряшов В. В., Баран А. В.* // Весці НАН Беларусі. Сер. фіз.-мат. навук. 2011. № 4. С. 67–70.
15. *Абрамовиц М., Стиган И.* Справочник по специальным функциям. М., 1979.

V. V. KUDRYASHOV, A. V. BARAN

kudryash@dragon.bas-net.by, a.baran@dragon.bas-net.by

SPIN-ORBIT INTERACTIONS IN SEMICONDUCTOR CIRCULAR QUANTUM DOTS

Summary

Within the framework of perturbation theory the energy levels and wave functions are found for an electron in two-dimensional semiconductor circular quantum dots in the presence of the Rashba and Dresselhaus spin-orbit interactions with realistic axially symmetric confining square potential of finite depth.